

Федеральное государственное бюджетное образовательное учреждение
высшего образования
«Новосибирский государственный технический университет»

Кафедра прикладной математики

ОТЧЕТ ПО УЧЕБНОЙ ПРАКТИКЕ: ПРАКТИКЕ ПО ПОЛУЧЕНИЮ ПЕРВИЧНЫХ ПРОФЕССИОНАЛЬНЫХ УМЕНИЙ И НАВЫКОВ

Направление подготовки: 01.04.02 Прикладная математика и информатика

Выполнил:

Студент Жилияков Александр Константинович
(Ф.И.О.)

Группа ПММ-72

Факультет ПМИ

подпись

«__» _____ 20__ г.

Проверил:

Руководитель от НГТУ Персова Марина Геннадьевна
(Ф.И.О.)

Балл: _____, ECTS _____,

Оценка _____
«отлично», «хорошо», «удовлетворительно», «неуд.»

подпись

«__» _____ 20__ г.

Индивидуальное задание на учебную практику: практику по получению первичных профессиональных умений и навыков

Студент группы ПММ-72

Место прохождения практики: НГТУ, Научно-образовательный центр «Моделирование электромагнитных технологий»

Задачи практики:

Реализовать метод ускорения Андерсона для нелинейной задачи магнитостатики (задачи Пуассона с нелинейно зависящим от решения коэффициентом диффузии); сравнить производительность нелинейных методов решение с применением ускорения и без него.

Ожидаемые результаты практики:

Ожидаем, что ускорение Андерсона можно рассматривать как альтернативу более дорогим итерациям Ньютона, которые обычно используются вместе с методом простой итерации (метод Ньютона имеет второй порядок сходимости (локально) и запускается после того, как невязка по нелинейности достаточно мала).

Задание выдал: _____ ФИО руководителя практики от НГТУ

_____ ФИО руководителя практики от профильной организации

Задание принято к исполнению: _____ «__» _____ 2017 г.

(подпись студента)

1 Описание задачи

Расчётная область представлена на рисунке 1. При заданной плотности тока $\mathbf{J} = (0, 0, J_z)$, $J_z := \pm j [A m^{-2}]$, в проводах и магнитной проницаемости $\mu [N A^{-2}]$ железного тела, требуется найти результирующее поле магнитной индукции $\mathbf{B} [T]$.

Физика данной задачи описывается системой Максвелла. Введём в рассмотрение вектор-потенциал \mathbf{A} через

$$\mathbf{B} = \nabla \times \mathbf{A};$$

тогда уравнения Максвелла $\nabla \times \frac{1}{\mu} \mathbf{B} = \mathbf{J}$, $\nabla \cdot \mathbf{B} = 0$ можно переписать в терминах вектор-потенциала

$$\nabla \times \frac{1}{\mu} \nabla \times \mathbf{A} = \mathbf{J}.$$

Предполагая, что магнит достаточно длинный в z -направлении и учитывая тот факт, что поле \mathbf{J} имеет только одну ненулевую z -компоненту, $J_z = J_z(x, y)$, мы можем свести последнее уравнение к уравнению Пуассона

$$-\nabla \cdot \left(\frac{1}{\mu} \nabla A_z \right) = J_z; \quad (1)$$

из физических соображений задача (1) оснащается однородными краевыми условиями Неймана (на нижней границе) и Дирихле (на остальной части). В результате КЭ дискретизации задача сведётся к решению линейной

$$\mathbf{S} \mathbf{x} = \mathbf{b} \quad (2)$$

или нелинейной

$$\mathbf{S}(\mathbf{x}) \mathbf{x} = \mathbf{b} \quad (3)$$

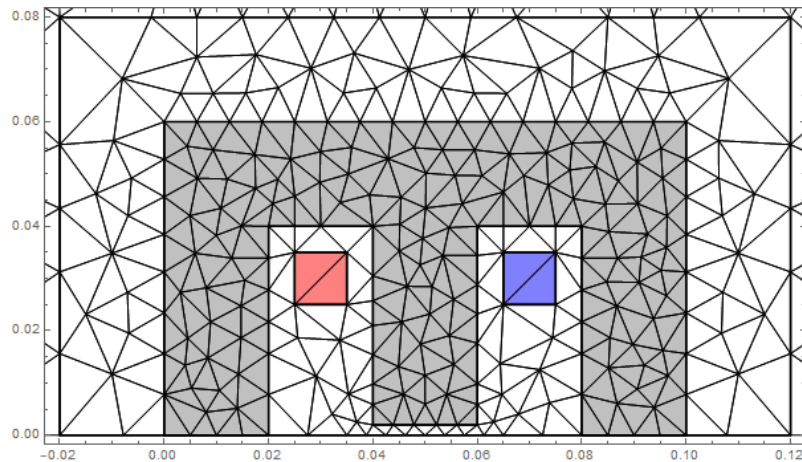
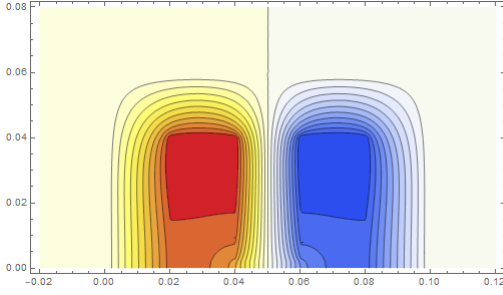
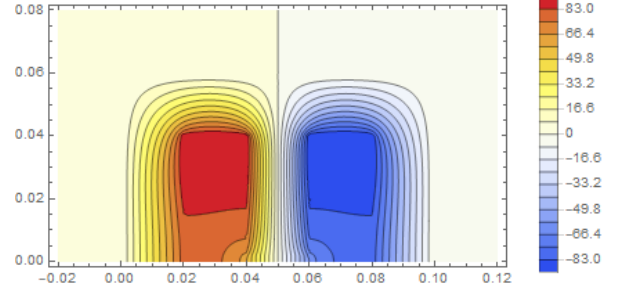


Рис. 1: Сечение в плоскости $x O y$: железный магнит (выделен серым цветом), медные провода (выделены красным и синим)



(a) $|J_z| = 10^6 \text{ A m}^{-2}$



(b) $|J_z| = 10^{11} \text{ A m}^{-2}$

Рис. 2: Конечно элементные интерполянты вектор-потенциала A_z , полученные при решении линейной задачи (2)

системы уравнений в зависимости от того, каким образом магнитная проницаемость зависит от вектор-потенциала.

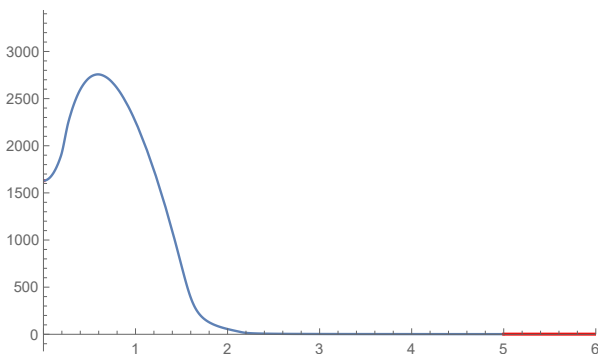
Представим магнитную проницаемость в виде $\mu = \mu_0 \hat{\mu}$, где $\mu_0 := 4 \pi 10^{-7} [N A^{-2}]$ есть проницаемость вакуума. Мы можем положить $\hat{\mu}_{\text{iron}} = 1000$ — тогда (1) сведётся к линейной системе (2). В таком случае при изменении правой части уравнения меняться будет только масштаб решения (см. рисунок 2).

В действительности же $\hat{\mu}_{\text{iron}}$ нелинейно зависит \mathbf{B} (см. рисунок 3) — $\mu_{\text{iron}} = \mu_{\text{iron}}(\|\mathbf{B}\| = \|\nabla A_z\|)$. При таком раскладе (1) сведётся к нелинейной системе (2). Далее мы рассмотрим методы решения нелинейных систем.

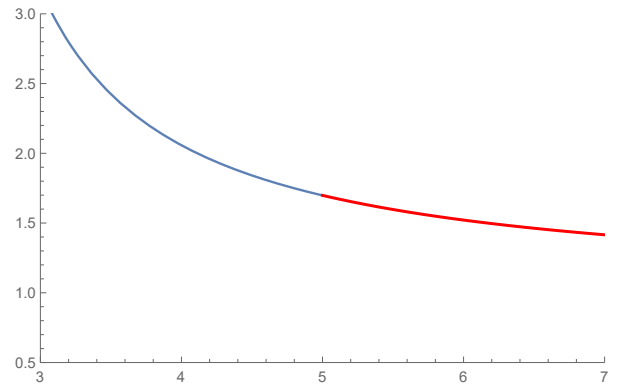
2 Ускорение Андерсона

Пусть требуется решить нелинейную задачу

$$\mathbf{f}(\mathbf{x}) = 0. \quad (4)$$



(a) $\hat{\mu}_{\text{iron}} = \hat{\mu}_{\text{iron}}(\|\mathbf{B}\|)$



(b) Часть с экстраполяцией

Рис. 3: Интерполянт для магнитной проницаемости, построенный по реальным данным

От задачи поиска корня (4), записанной в терминах оператора невязки $\mathbf{f} : \mathbb{R}^n \rightarrow \mathbb{R}^n$, можно перейти к эквивалентной задаче поиска фиксированной точки

$$\mathbf{x} = \mathbf{g}(\mathbf{x}), \quad (5)$$

записанной в терминах оператора итераций \mathbf{g} . (Сделать это можно, например, положив $\mathbf{g}(\mathbf{x}) := \mathbf{x} - \gamma \mathbf{f}(\mathbf{x})$.)

Выбрав начальное приближение $\mathbf{x}^{(0)}$, для решения (5) можно применить **метод простой итерации**

$$\mathbf{x}^{(k+1)} = \mathbf{g}(\mathbf{x}^{(k)}). \quad (6)$$

Для ускорения сходимости (6) можно предложить следующую идею. Будем искать новое приближение используя $(m + 1)$ предыдущих приближений:

$$\mathbf{x}^{(k+1)} = \sum_{i=0}^m \alpha_i \mathbf{g}(\mathbf{x}^{(k-i)}). \quad (7)$$

Метод (7) будет состоятельным тогда и только тогда, когда

$$\sum_{i=0}^m \alpha_i = 1.$$

Коэффициенты α_i будем искать решая задачу минимизации

$$\boldsymbol{\alpha} = \arg \min_{\sum_{i=0}^m \alpha_i = 1} \left\| \sum_{i=0}^m \alpha_i \mathbf{f}(\mathbf{x}^{(k-i)}) \right\|_2. \quad (8)$$

Представим коэффициенты α_i в виде

$$\begin{aligned} \alpha_0 &= 1 - \beta_1, \\ \alpha_1 &= \beta_1 - \beta_2, \\ &\vdots \\ \alpha_{m-1} &= \beta_{m-1} - \beta_m, \\ \alpha_m &= \beta_m; \end{aligned} \quad (9)$$

тогда задачу минимизации с ограничениями (8) можно переписать как задачу минимизации без ограничений — свести её к **задаче о наименьших квадратах**

$$\begin{aligned} \boldsymbol{\beta} &= \arg \min_{\boldsymbol{\beta} \in \mathbb{R}^m} \left\| \mathbf{f}(\mathbf{x}^{(k)}) - \sum_{i=1}^m \beta_i (\mathbf{f}(\mathbf{x}^{(k-i)}) - \mathbf{f}(\mathbf{x}^{(k-i+1)})) \right\|_2 \\ &= \arg \min_{\boldsymbol{\beta} \in \mathbb{R}^m} \left\| \mathbf{f}(\mathbf{x}^{(k)}) - \mathbf{F} \boldsymbol{\beta} \right\|_2, \end{aligned} \quad (10)$$

которая эквивалентна решению системы

$$(\mathbf{F}^T \mathbf{F}) \boldsymbol{\beta} = \mathbf{F}^T \mathbf{f}(\mathbf{x}^{(k)}). \quad (11)$$

Здесь через \mathbf{F} обозначена матрица из разностей нелинейных невязок

$$\mathbf{F} := [\mathbf{f}(\mathbf{x}^{(k)}) - \mathbf{f}(\mathbf{x}^{(k-1)}) \mid \dots \mid \mathbf{f}(\mathbf{x}^{(k-m+1)}) - \mathbf{f}(\mathbf{x}^{(k-m)})] \in \mathbb{R}^{m \times n}.$$

Таким образом, **метод ускорения Андерсона** (или метод смешивания Андерсона) для задачи (6) записывается в следующем виде. Используя информацию об $(m + 1)$ предыдущих приближениях, найти новое приближение в виде

$$\mathbf{x}^{(k+1)} = \sum_{i=0}^m \alpha_i \mathbf{g}(\mathbf{x}^{(k-i)}),$$

где коэффициенты $\boldsymbol{\alpha}$ выражаются через коэффициенты $\boldsymbol{\beta}$ (9), которые находятся из решения нормальной системы (11).

Обычно количество смешиваний (размер матрицы системы (11)) m выбирается в диапазоне 10–50, $m \ll n$, и для составления матрицы требуется $O(n)$ операций на каждой нелинейной итерации метода (6); для небольшой системы достаточно использовать LU факторизацию / метод исключения Гаусса с partial pivoting (используется в нашей реализации)¹. Заметим, что в обычном методе (6) мы исполняем как минимум $O(n)$ операций на каждой нелинейной итерации, реассемблируя конечно-элементную матрицу, так что ускоренный метод (7) асимптотически эквивалентен методу (6) в терминах необходимых операций и затрат ОЗУ на каждой нелинейной итерации.

Выбор коэффициентов в (8) обусловлен следующим наблюдением. Предположим, что приближения $\mathbf{x}^{(k)}, \dots, \mathbf{x}^{(k-m+1)}$ достаточно близки друг к другу и

¹Другой вариант (более подходящий с точки зрения устойчивости при работе в конечной арифметике) решения задачи наименьших квадратов (10) — метод ортогональных преобразований с использованием отражений Хаусхолдера.

дефекты $\|\mathbf{x}^{(i)} - \mathbf{g}(\mathbf{x}^{(i)})\|_2$ достаточно малы. Тогда

$$\begin{aligned}
\mathbf{f}(\mathbf{x}^{(k+1)}) &= \mathbf{f} \left(\sum_{i=0}^m \alpha_i \mathbf{g}(\mathbf{x}^{(k-i)}) \right) \\
&= \mathbf{f} \left(\sum_{i=0}^m \alpha_i \mathbf{x}^{(k-i)} - \sum_{i=0}^m \alpha_i \left(\mathbf{x}^{(k-i)} - \mathbf{g}(\mathbf{x}^{(k-i)}) \right) \right) \\
&\approx \mathbf{f} \left(\sum_{i=0}^m \alpha_i \mathbf{x}^{(k-i)} \right) \\
&= \mathbf{f} \left(\mathbf{x}^{(k)} - \sum_{i=1}^m \beta_i \left(\mathbf{x}^{(k-i+1)} - \mathbf{x}^{(k-i)} \right) \right) \\
&\approx \mathbf{f}(\mathbf{x}^{(k)}) - \sum_{i=1}^m \beta_i \mathbf{f}'(\mathbf{x}^{(k)}) \left(\mathbf{x}^{(k-i+1)} - \mathbf{x}^{(k-i)} \right) \\
&\approx \mathbf{f}(\mathbf{x}^{(k)}) - \sum_{i=1}^m \beta_i \left(\mathbf{f}(\mathbf{x}^{(k-i+1)}) - \mathbf{f}(\mathbf{x}^{(k-i)}) \right) \\
&= \sum_{i=0}^m \alpha_i \mathbf{f}(\mathbf{x}^{(k-i)}).
\end{aligned} \tag{12}$$

Таким образом, решая (8) в методе ускорения Андерсона мы надеемся минимизировать невязку $(k+1)$ -го приближения. Поэтому метод ускорения Андерсона иногда называют нелинейным аналогом GMRES.

3 Численные результаты

Для задачи (3) оператор невязки имеет вид

$$\mathbf{f}(\mathbf{x}) := \mathbf{b} - \mathbf{S}(\mathbf{x}) \mathbf{x}.$$

В качестве оператора итераций можно выбрать, например,

$$\mathbf{g}(\mathbf{x}) := \mathbf{S}^{-1}(\mathbf{x}) \mathbf{b} \tag{13}$$

или

$$\mathbf{g}(\mathbf{x}) := \mathbf{x} - [\mathbf{f}'(\mathbf{x})]^{-1} \mathbf{f}(\mathbf{x}). \tag{14}$$

Метод (13) называется **методом Пикарда** (так же методом простой итерации или упрощённым методом Ньютона), а метод (14) — **методом Ньютона**.

На каждой итерации обоих методов необходимо вычислять результат действия матрицы, обратной к дискретному эллиптическому оператору (симметричная положительно определённая матрица); мы делаем это с помощью метода сопряжённых градиентов с неполным LDL^T переобуславливателем. Метод

Таблица 1: Количество итераций и время работы для разных нелинейных методов решения системы (3)

Плотность тока $ J_z $, $[A m^{-2}]$	10^6	10^7	10^8	10^9	10^{10}	10^{11}
Метод Пикарда (13)	1 0.4 s	6 1.3 s	— —	— —	203 25.2 s	7 1 s
Метод Пикарда с релаксацией (15)	1 0.5 s	6 2 s	84 71 s	70 52.4 s	164 54.3 s	7 2.6 s
Ускорение Андерсона (7)	1+0 0.7 s	0+4 1 s	22+20 20 s	21+21 14.5 s	35+6 11.4 s	4+2 1.9 s

Ньютона (14) с вычислительной точки зрения дороже, чем (13), потому что он требует вычисления матрицы Якоби; кроме того метод Ньютона имеет *локальный* квадратичный порядок сходимости.

Для решения больших нелинейных систем обычно используют следующий подход: обрушают нелинейную невязку с помощью относительно дешёвого метода, — например, (13), — а затем запускают метод Ньютона.

В данной работе мы вместо метода Ньютона для ускорения сходимости использовали более дешёвый с вычислительной точки зрения метод смешивания Андерсона² для ускорения сходимости метода Пикарда (13).

На практике отображение \mathbf{g} редко является сжимающим, поэтому для обрушения невязки мы использовали метод Пикарда с релаксацией

$$\mathbf{g}_\omega(\mathbf{x}) := \omega \mathbf{S}^{-1}(\mathbf{x}) \mathbf{b} + (1 - \omega) \mathbf{x}, \quad (15)$$

$0 < \omega \leq 1$. Здесь параметр ω выбирался адаптивно — начиная с единичного значения, мы делили его на 10 до тех пор, пока норма новой нелинейной невязки не становилась меньше текущей. Метод (15) дороже (13): на одной итерации невязку приходится вычислять несколько раз.

Результаты приведены в таблице 1. Использовались линейные Лагранжевы элементы первого порядка (сетка изображена на рисунке 1, 362 степени свободы). Критерий остановки: $\mathbf{f}(\mathbf{x}^{(k)}) < 10^{-8}$. Для метода смешивания Андерсона $k = i + j$ означает i итераций Пикарда с *релаксацией*³ ($\mathbf{f}(\mathbf{x}^{(i)}) < 10^{-4}$) и j *ускоренных* итераций Пикарда. Мы использовали количество смешиваний $m = 10$.

Из таблицы видно, что степень «сложности» нелинейной задачи сильно зависит от применяемой плотности тока: при плотности вне промежутка 10^8 — $10^{10} [A m^{-2}]$ оказывается достаточным использовать простой метод Пикарда; внутри промежутка метод оказывается неработоспособным.

Применение метода Пикарда с релаксацией позволяет решить задачу, однако

²Ускорение Андерсона подходит для любого метода, записанного в форме (5) — в том числе и для метода Ньютона (14). В данной работе мы рассматриваем только производительность ускоренного метода Пикарда (13).

³Из (12) видно, что ускорение Андерсона применимо при определённых предположениях, поэтому для обрушения невязки мы использовали метод Пикарда с релаксацией.

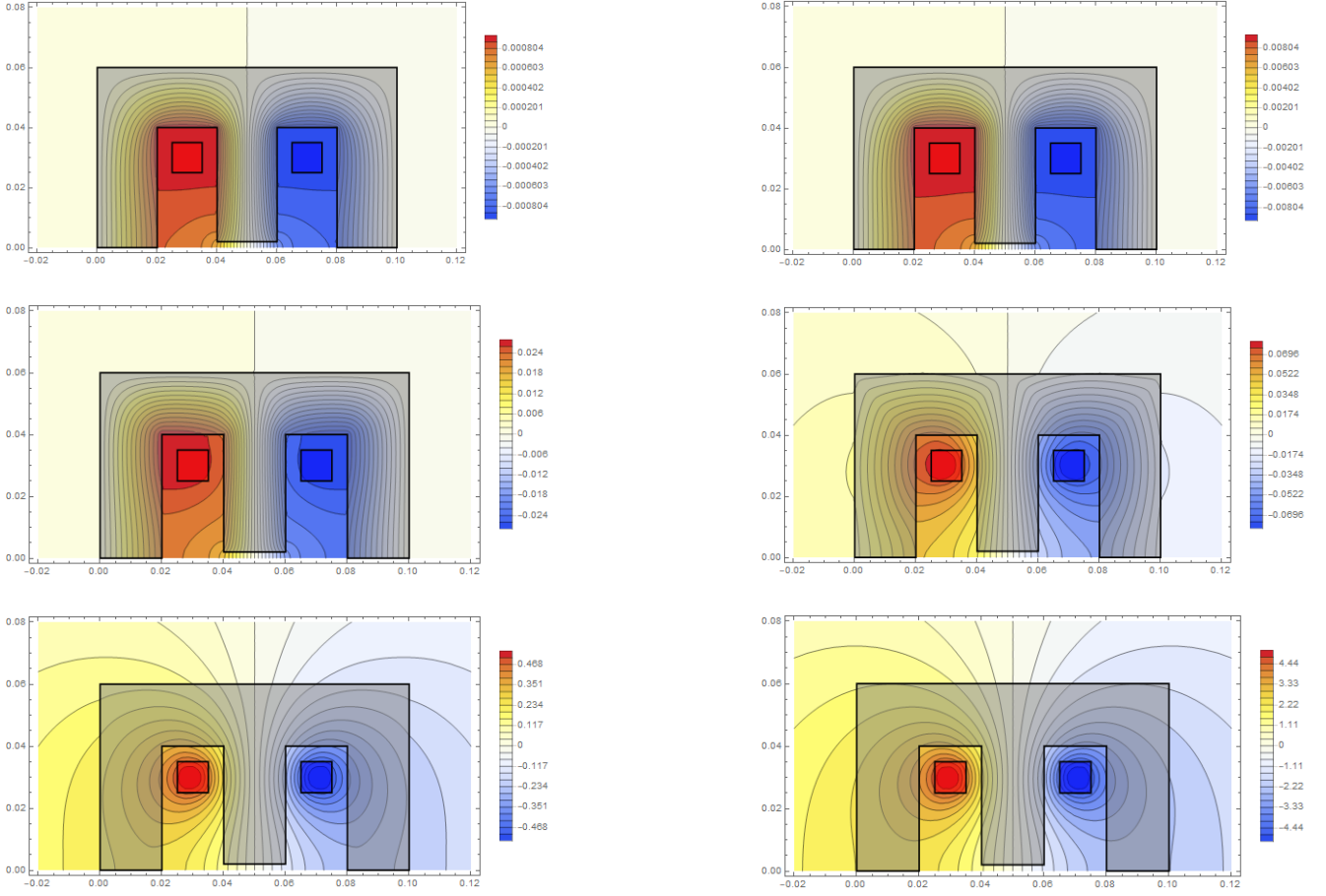


Рис. 4: Конечно элементные интерполянты вектор-потенциала A_z , полученные при решении нелинейной задачи (3): $|J_z| = 10^6, 10^7, \dots, 10^{11} \text{ A m}^{-2}$

временные затраты получаются колоссальными (с учётом скромного размера системы, $n = 362$). Из таблицы видно, что применение ускорения Андерсона позволяет методу сойтись в > 3 раза быстрее.

Решения представлены на рисунке 4.

4 Исходный текст программы

4.1 NonlinearSolvers.hpp

Модуль с имплементацией общего нелинейного решателя в форме (6) и метода ускорения Андерсона (7).

```

1  #pragma once
2  #include <boost/circular_buffer.hpp>
3  #include "DenseMatrix.hpp"
4  #include "Mapping.hpp"
5
6  namespace NonlinearSolvers {
7
8      struct FixedPointData {
9          Operator f; // residual operator
10         Operator g; // iteration operator
11     };

```

```

12
13 inline void logFixedPoint(double r, Index i, Index max = 1) {
14     auto& logger = SingletonLogger::instance();
15     auto& w = std::setw(std::to_string(max).length());
16     logger.buf << "|| f(x_" << std::setfill('0') << w << i << ") || = " <<
        std::scientific << r;
17     logger.log();
18 }
19
20 inline std::vector<double> FixedPointMethod(
21     FixedPointData const & fp,
22     std::vector<double> const & x_0,
23     Index n = 100, // max numb of iters
24     double eps = 1e-7
25 ) {
26     auto& logger = SingletonLogger::instance();
27     logger.log("start Fixed Point method");
28     auto x = x_0;
29     auto r_norm = norm(fp.f(x));
30     logFixedPoint(r_norm, 0, n);
31     if (r_norm < eps) {
32         logger.log("stop Fixed Point method");
33         return x;
34     }
35     Index i;
36     for (i = 1; i <= n; ++i) {
37         x = fp.g(x);
38         r_norm = norm(fp.f(x));
39         logFixedPoint(r_norm, i, n);
40         if (r_norm < eps) break;
41     }
42     logger.log("stop Fixed Point method");
43     if (i > n) logger.wrn("Fixed Point Method exceeded max numb of
        iterations");
44     return x;
45 }
46
47 inline std::vector<double> AndersonMixingMethod(
48     FixedPointData const & fp,
49     std::vector<double> const & x_0,
50     Index m = 0,
51     Index n = 100, // max numb of iters
52     double eps = 1e-7
53 ) {
54     auto& logger = SingletonLogger::instance();
55     if (m == 0) {
56         logger.log("m = 0 -> Fixed Point Method");
57         return FixedPointMethod(fp, x_0, n, eps);
58     }
59     boost::circular_buffer<std::vector<double>> F(m), G(m + 1);
60     logger.log("start Fixed Point method");
61     // i = 0
62     auto x = x_0;
63     auto r = fp.f(x);
64     auto r_norm = norm(r);
65     logFixedPoint(r_norm, 0, n);
66     if (r_norm < eps) {
67         logger.log("stop Fixed Point method");
68         return x;
69     }
70     G.push_front(fp.g(x));
71     // i = 1
72     x = G[0];

```

```

73     auto r_new = fp.f(x);
74     r_norm = norm(r_new);
75     logFixedPoint(r_norm, 1, n);
76     if (r_norm < eps) {
77         logger.log("stop Fixed Point method");
78         return x;
79     }
80     G.push_front(fp.g(x));
81     F.push_front(r_new - r);
82     r = r_new;
83     logger.log("stop Fixed Point method");
84     // i = 2, 3, . . .
85     logger.log("start Anderson Mixing method");
86     Index i;
87     for (i = 2; i <= n; ++i) {
88         m = F.size();
89         DenseMatrix<double> A(m);
90         std::vector<double> b(m);
91         for (Index k = 0; k < m; ++k) {
92             b[k] = F[k] * r;
93             for (Index j = 0; j < m; ++j)
94                 A(k, j) = F[k] * F[j];
95         }
96         auto beta = A.GaussElimination(b);
97         decltype(beta) alpha(m + 1);
98         alpha[0] = 1. - beta[0];
99         for (Index k = 1; k < m; ++k) alpha[k] = beta[k - 1] - beta[k];
100        alpha[m] = beta[m - 1];
101        std::fill(x.begin(), x.end(), 0.);
102        for (Index k = 0; k < m + 1; ++k) x += alpha[k] * G[k];
103        r_new = fp.f(x);
104        r_norm = norm(r_new);
105        logFixedPoint(r_norm, i, n);
106        if (r_norm < eps) break;
107        G.push_front(fp.g(x));
108        F.push_front(r_new - r);
109        r = r_new;
110    }
111    logger.log("stop Anderson Mixing method");
112    if (i > n) logger.wrn("Anderson Mixing Method exceeded max numb of
        iterations");
113    return x;
114 }
115
116 }

```

4.2 user.cpp

Модуль с имплементацией конечно-элементного решения линейной и нелинейной задач магнитостатики (1).

```

1  #include <memory>
2  // finite elements to use
3  #include "Triangle_P0_Lagrange.hpp"
4  #include "Triangle_P1_Lagrange.hpp"
5  #include "Triangle_P2_Lagrange.hpp"
6  #include "Triangle_P1_CrouzeixRaviart.hpp"
7  // interpolant for diffusion
8  #include "FEInterpolant.hpp"
9  // assembler
10 #include "DivGradFEM.hpp"

```

```

11 // solvers
12 #include "ProjectionSolvers.hpp"
13 #include "NonlinearSolvers.hpp"
14 // preconditioner
15 #include "Multigrid.hpp"
16 // pi
17 #include "constants.hpp"
18 // for small rotation matrix
19 #include "DenseMatrix.hpp"
20 // for 1D interpolant of  $\mu_{\text{bar\_iron}}$ 
21 #include "Segment_P1_Lagrange.hpp"
22
23 using std::vector;
24 using std::string;
25 using boost::get;
26 using namespace FEM::DivGrad;
27 using namespace ProjectionSolvers;
28 using namespace NonlinearSolvers;
29
30 int main() {
31     string iPath("Mathematica/preprocessing/"),
32         oPath("Mathematica/postprocessing/");
33     auto& logger = SingletonLogger::instance();
34     try {
35         logger.beg("set up mesh");
36         vector<string> meshType { "mesh_good.nt", "mesh_coarse.nt",
37             "mesh_nonconform.nt" };
38         auto meshTypeIndex = logger.opt("mesh type", meshType);
39         Triangulation Omega;
40         Omega.import(iPath + meshType[meshTypeIndex]);
41         Omega.computeNeighbors().enumerateRibs();
42         // special subdomains of Omega
43         Quadrilateral2D
44             // parts of magnet
45             magnetLeft {
46                 { { 0., 0. }, { .02, 0. }, { .02, .06 }, { 0., .06 } }
47             },
48             magnetMiddle {
49                 { { .04, .04 }, { .04, .002 }, { .06, .002 }, { .06, .04 } }
50             },
51             magnetRight {
52                 { { .08, .06 }, { .08, 0. }, { .1, 0. }, { .1, .06 } }
53             },
54             magnetTop {
55                 { { 0.1, 0.06 }, { 0, 0.06 }, { 0, 0.04 }, { 0.1, 0.04 } }
56             },
57             // wires
58             left { // left wire
59                 { { .025, .025 }, { .035, .025 }, { .035, .035 }, { .025, .035 } }
60             },
61             right { // right ...
62                 { { .065, 0.025 }, { .075, .025 }, { .075, .035 }, { .065, .035 } }
63             };
64         Predicate2D magnet = [&](Node2D const & p) {
65             return nodeInElement(magnetLeft, p)
66                 || nodeInElement(magnetMiddle, p)
67                 || nodeInElement(magnetRight, p)
68                 || nodeInElement(magnetTop, p);
69         };
70         logger.end();
71         logger.beg("set up PDE and BCs");
72         // current density
73         double J_z = 1e+06;

```

```

72     logger.inp("set current density J_z", J_z);
73     // iron permeability
74     double mu_roof_iron = 1000.;
75     logger.inp("set iron permeability mu_roof_iron", mu_roof_iron);
76     // vacuum permeability
77     double const mu_0 = 4. * PI * 1e-7;
78     ScalarField2D
79         diffusion = [&](Node2D const & p) { // linear case
80             double mu_roof = magnet(p) ? mu_roof_iron : 1.;
81             return 1. / mu_roof;
82         },
83         force = [&](Node2D const & p) {
84             if (nodeInElement(left, p)) return mu_0 * J_z;
85             if (nodeInElement(right, p)) return - mu_0 * J_z;
86             return 0.;
87         },
88         reaction = [](Node2D const) { return 0.; },
89         NeumannValue = reaction, RobinCoefficient = reaction,
90         DirichletCondition = reaction;
91     Predicate2D naturalBCsPredicate = [](Node2D const p) { return p[1] ==
92         0.; };
93     // PDE
94     DiffusionReactionEqn2D PoissonEqn { diffusion, reaction, force };
95     // BCs
96     ScalarBoundaryCondition2D
97         RobinBC {
98             { RobinCoefficient, NeumannValue }, //  $n \cdot (a \nabla u) + R u = N$ 
99             naturalBCsPredicate
100         },
101         DirichletBC { DirichletCondition };
102     logger.end();
103     logger.beg("build and export interpolants for diffusion and force");
104     TriangularScalarFEInterpolant
105         diffisionInterp { diffusion, Triangle_P0_Lagrange::instance(), Omega },
106         forceInterp { force, Triangle_P0_Lagrange::instance(), Omega };
107     export(diffisionInterp.DOFs(), oPath + "diffusion.dat");
108     export(forceInterp.DOFs(), oPath + "force.dat");
109     Omega.export(oPath + "mesh_0.ntnr", { { "format", "NTNR" } });
110     logger.end();
111     logger.beg("set solver data");
112     // method of solving SLAE
113     auto method = logger.opt("choose solving technique", {
114         "MG",
115         "P_MG CG",
116         "P_ILU(0) CG",
117         "CG"
118     });
119     // FE
120     vector<TriangularScalarFiniteElement*> FEs {
121         &Triangle_P1_Lagrange::instance(),
122         &Triangle_P2_Lagrange::instance(),
123         &Triangle_P1_CrouzeixRaviart::instance()
124     };
125     auto FEIndex = logger.opt("choose finite element", { "Lagrange P1",
126         "Lagrange P2", "Crouzeix-Raviart P1" });
127     auto& FE = *FEs[FEIndex];
128     // numb of refinements
129     Index numbOfMeshLevels;
130     logger.inp("numb of mesh levels (refinements)", numbOfMeshLevels);
131     // iterations logger
132     Index i_log;
133     logger.inp("log every nth iteration of the solver, n", i_log);
134     // max numb of iters

```

```

132     Index maxNumbOfIterations;
133     logger.inp("max numb of iterations", maxNumbOfIterations);
134     // tolerance
135     double eps;
136     logger.inp("set eps for solver", eps);
137     // stopping criterion
138     auto stop = (StoppingCriterion)logger.opt("stopping criterion", {
        "absolute", "relative" });
139     logger.beg("set MG data");
140     logger.wrn("these values make sense for (MG) and (P_MG CG) solvers
        only");
141     // smoothing
142     Index nu;
143     logger.inp("numb of pre- and post-smoothing iterations", nu);
144     // cycle type
145     auto gamma = logger.opt("set recursive calls type", { "V-cycle",
        "W-cycle" });
146     ++gamma;
147     // iters for precond
148     Index numbOfInnerIterations;
149     logger.inp("numb of iterations for inner solver",
        numbOfInnerIterations);
150     logger.end();
151     logger.end();
152     logger.beg("run method");
153     vector<double> x_linear;
154     if (method == 0) /* MG */ {
155         logger.beg("set up mg");
156         Multigrid<SymmetricCSlCMatrix<double>> MG {
157             FE, Omega, numbOfMeshLevels,
158             [&](Triangulation const & Omega) {
159                 return assembleSystem(PoissonEqn, Omega, RobinBC, DirichletBC,
                    FE);
160             },
161             TransferType::canonical
162         };
163         auto smoother = [&](SymmetricCSlCMatrix<double>& A, vector<double>
            const & b, vector<double> const & x_0, Index) {
164             return Smoothers::SSOR(A, b, x_0, 1., nu, 0.,
                StoppingCriterion::absolute, 0);
165         };
166         logger.end();
167         logger.beg("solve w/ MG");
168         auto& A = MG.A();
169         auto& b = MG.b();
170         // initial residual
171         double r_0 = norm(b - A * x_linear), r = r_0, r_new = r_0;
172         logInitialResidual(r_0, maxNumbOfIterations);
173         // MG as a stand-alone iteration
174         Index i;
175         for (i = 1; i <= maxNumbOfIterations; ++i) {
176             logger.mute = true;
177             x_linear = MG(numbOfMeshLevels, b, x_linear, smoother, gamma);
178             logger.mute = false;
179             r_new = norm(b - A * x_linear);
180             if (i_log && i % i_log == 0) logResidualReduction(r, r_new, i,
                maxNumbOfIterations);
181             r = r_new;
182             if (stop == StoppingCriterion::absolute && r < eps) break;
183             else if (stop == StoppingCriterion::relative && r / r_0 < eps)
                break;
184         }

```

```

185         logFinalResidual(r_0, r_new, i > maxNumOfIterations ?
186             maxNumOfIterations : i, maxNumOfIterations);
187         if (i > maxNumOfIterations) logger.wrn("MG failed");
188         logger.end();
189     }
190     else if (method == 1) /* P_MG CG */ {
191         logger.beg("build preconditioner");
192         Multigrid<SymmetricCSlCMatrix<double>> MG {
193             FE, Omega, numbOfMeshLevels,
194             [&](Triangulation const & Omega) {
195                 return assembleSystem(PoissonEqn, Omega, RobinBC, DirichletBC,
196                     FE);
197             },
198             TransferType::canonical
199         };
200         auto smoother = [&](SymmetricCSlCMatrix<double>& A, vector<double>
201             const & b, vector<double> const & x_0, Index) {
202             return Smoothers::SSOR(A, b, x_0, 1., nu, 0.,
203                 StoppingCriterion::absolute, 0);
204         };
205         Index n = MG.A().size();
206         Preconditioner P = [&](vector<double> const & x) {
207             vector<double> y(n);
208             auto cond = logger.mute;
209             logger.mute = true;
210             for (Index i = 0; i < numbOfInnerIterations; ++i)
211                 y = MG(numbOfMeshLevels, x, y, smoother, gamma);
212             logger.mute = cond;
213             return y;
214         };
215         logger.end();
216         logger.beg("solve linear problem");
217         auto& A = MG.A();
218         auto& b = MG.b();
219         x_linear = Krylov::PCG(P, A, b, boost::none, maxNumOfIterations,
220             eps, stop, i_log);
221         logger.end();
222     }
223     else if (method == 2) /* P_ILU(0) CG */ {
224         logger.beg("refine mesh");
225         Omega.refine(numbOfMeshLevels);
226         logger.end();
227         logger.beg("assemble system");
228         auto system = assembleSystem(PoissonEqn, Omega, RobinBC,
229             DirichletBC, FE);
230         auto& A = get<0>(system);
231         auto& b = get<1>(system);
232         logger.end();
233         logger.beg("build ILU(0)");
234         auto LDLT = A;
235         LDLT.decompose();
236         auto P = [&](vector<double> const & x) {
237             return LDLT.backSubst(LDLT.diagSubst(LDLT.forwSubst(x, 0.)), 0.);
238         };
239         logger.end();
240         logger.beg("solve linear problem");
241         x_linear = Krylov::PCG(P, A, b, boost::none, maxNumOfIterations,
242             eps, stop, i_log);
243         logger.end();
244     }
245     else if (method == 3) /* CG */ {
246         logger.beg("refine mesh");
247         Omega.refine(numbOfMeshLevels);

```



```

241     logger.end();
242     logger.beg("assemble system");
243     auto system = assembleSystem(PoissonEqn, Omega, RobinBC,
        DirichletBC, FE);
244     auto& A = get<0>(system);
245     auto& b = get<1>(system);
246     logger.end();
247     logger.beg("solve linear problem");
248     x_linear = Krylov::CG(A, b, boost::none, maxNumOfIterations, eps,
        stop, i_log);
249     logger.end();
250 }
251 logger.end();
252 logger.beg("compute interpolant for magnetic field");
253 TriangularScalarFEInterpolant x_linear_interp { x_linear, FE, Omega };
254 Index activeElementIndex;
255 DenseMatrix<double> rotate {
256     { 0., 1. },
257     { -1., 0. }
258 };
259 auto B_linear = [&](Node2D const & p) -> Node2D {
260     return rotate * x_linear_interp.grad(p, activeElementIndex);
261 };
262 auto Bx_linear = [&](Node2D const & p) { return B_linear(p)[0]; };
263 auto By_linear = [&](Node2D const & p) { return B_linear(p)[1]; };
264 auto Bn_linear = [&](Node2D const & p) { return norm(B_linear(p)); };
265 TriangularScalarFEInterpolant
266     Bx_linear_interp { Bx_linear, FE/*Triangle_P0_Lagrange::instance()*/,
        Omega, activeElementIndex };
267     By_linear_interp { By_linear, FE/*Triangle_P0_Lagrange::instance()*/,
        Omega, activeElementIndex };
268     Bn_linear_interp { Bn_linear, FE/*Triangle_P0_Lagrange::instance()*/,
        Omega, activeElementIndex };
269 logger.end();
270 logger.beg("export soln vector");
271 export(x_linear, oPath + "x_linear.dat");
272 export(Bx_linear_interp.DOFs(), oPath + "Bx_linear.dat");
273 export(By_linear_interp.DOFs(), oPath + "By_linear.dat");
274 export(Bn_linear_interp.DOFs(), oPath + "Bn_linear.dat");
275 logger.end();
276 /* */
277 if (logger.yes("solve non-linear problem")) {
278     logger.beg("build interpolant for mu_roof_iron");
279     SegmentMesh BnValues;
280     BnValues.import(iPath + "Bn_values.dat");
281     double Bn_min = BnValues.getNodes().front(), Bn_max =
        BnValues.getNodes().back();
282     vector<double> muValues(BnValues.numOfNodes());
283     import(muValues, iPath + "mu_values.dat");
284     SegmentFEInterpolant mu_roof_iron_interp { muValues,
        Segment_P1_Lagrange::instance(), BnValues };
285     // relative permeability of iron as a function of ||B||
286     auto mu_roof_iron = [&](double Bn) {
287         // (1) extrapolation
288         if (Bn < Bn_min)
289             return muValues.front();
290         if (Bn > Bn_max)
291             return Bn * muValues.back() / (Bn_max + Bn * muValues.back() -
                Bn_max * muValues.back());
292         // (2) healthy case
293         return mu_roof_iron_interp(Bn);
294     };
295     logger.end();

```



```

296 logger.beg("solve non-linear problem");
297 FixedPointData fp;
298 SymmetricCSlCMatrix<double> A;
299 vector<double> b, r;
300 // residual,  $f(x) := b - A(x).x$ 
301 fp.f = [&](vector<double> const & x) {
302     logger.mute = true;
303     Index activeElementIndex;
304     TriangularScalarFEInterpolant x_interp { x, FE, Omega };
305     PoissonEqn.diffusionTerm() = [&](Node2D const & p) {
306         double mu_roof = magnet(p)
307             ? mu_roof_iron(norm(x_interp.grad(p, activeElementIndex)))
308             : 1.;
309         return 1. / mu_roof;
310     };
311     logger.beg("assemble system");
312     auto system = assembleSystem(PoissonEqn, Omega, RobinBC,
313         DirichletBC, FE, activeElementIndex);
314     A = get<0>(system);
315     b = get<1>(system);
316     logger.end();
317     logger.mute = false;
318     r = b - A * x;
319     return r;
320 };
321 // iteration operator,  $g(x) := [A(x)]^{(-1)} . b$ 
322 auto g = [&](vector<double> const & x) {
323     logger.mute = true;
324     logger.beg("build ILU(0)");
325     auto LDLT = A;
326     LDLT.decompose();
327     auto P = [&](vector<double> const & x) {
328         return LDLT.backSubst(LDLT.diagSubst(LDLT.forwSubst(x, 0.)), 0.);
329     };
330     logger.end();
331     logger.beg("compute new approximation");
332     auto x_new = Krylov::PCG(P, A, b, x, 0, 10e-9,
333         StoppingCriterion::relative);
334     logger.end();
335     logger.mute = false;
336     return x_new;
337 };
338 if (logger.yes("use relaxation"))
339 {
340     fp.g = [&](vector<double> const & x) {
341         auto r_norm = norm(r), r_norm_new = r_norm + 1., omega = 1.;
342         auto g_x = g(x), x_new = g_x;
343         while (r_norm_new >= r_norm && omega > 1e-10) {
344             x_new = omega * g_x + (1. - omega) * x;
345             r_norm_new = norm(fp.f(x_new));
346             omega /= 2.;
347         }
348         return x_new;
349     };
350 }
351 else fp.g = g;
352 // solve
353 decltype(x_linear) x_nonlinear;
354 if (logger.yes("use Anderson Mixing")) {
355     auto x_initial = FixedPointMethod(fp, x_linear, 50, 1e-4);
356     fp.g = g;
357     x_nonlinear = AndersonMixingMethod(fp, x_initial, 10, 200, 1e-8);
358 }
359 else x_nonlinear = FixedPointMethod(fp, x_linear, 300, 1e-8);
360 logger.end();

```

```

357     logger.beg("compute interpolant for magnetic field");
358     TriangularScalarFEInterpolant x_nonlinear_interp { x_nonlinear, FE,
        Omega };
359     auto B_nonlinear = [&](Node2D const & p) -> Node2D {
360         return rotate * x_nonlinear_interp.grad(p, activeElementIndex);
361     };
362     auto Bx_nonlinear = [&](Node2D const & p) { return B_nonlinear(p)[0];
        };
363     auto By_nonlinear = [&](Node2D const & p) { return B_nonlinear(p)[1];
        };
364     auto Bn_nonlinear = [&](Node2D const & p) { return
        norm(B_nonlinear(p)); };
365     TriangularScalarFEInterpolant
366         Bx_nonlinear_interp { Bx_nonlinear, FE, Omega, activeElementIndex },
367         By_nonlinear_interp { By_nonlinear, FE, Omega, activeElementIndex },
368         Bn_nonlinear_interp { Bn_nonlinear, FE, Omega, activeElementIndex };
369     logger.end();
370     logger.beg("export soln vector");
371     export(x_nonlinear, oPath + "x_nonlinear.dat");
372     export(Bx_nonlinear_interp.DOFs(), oPath + "Bx_nonlinear.dat");
373     export(By_nonlinear_interp.DOFs(), oPath + "By_nonlinear.dat");
374     export(Bn_nonlinear_interp.DOFs(), oPath + "Bn_nonlinear.dat");
375     logger.end();
376 }
377 /* */
378 logger.beg("export mesh");
379 Omega.export(oPath + "mesh.ntnr", { { "format", "NTNR" } });
380 logger.end();
381 logger.exp("stdin.txt");
382 }
383 catch (std::exception const & e) {
384     logger.err(e.what());
385 }
386 return 0;
387 }

```